

*Научные, аналитические и экологические приборы и системы*

*Special-Purpose Instrumentation and Controls Used in Research, Survey and Environment Protection Areas*

УДК 504.064.3: 629.331.001.57

## МАТЕМАТИЧЕСКОЕ МОДЕЛИРОВАНИЕ РАСПРОСТРАНЕНИЯ ЗАГРЯЗНЯЮЩИХ ВЕЩЕСТВ В АТМОСФЕРЕ В УСЛОВИЯХ НЕОДНОРОДНОЙ ГАЗОВОЙ СРЕДЫ

Сабельников Д. А., магистрант; Хламов М. Г., доцент, к.т.н.

(Донецкий национальный технический университет, г. Донецк, Украина)

Охрана окружающей среды от загрязнений становится одной из наиболее актуальных проблем науки и техники. Для проведения эффективных природоохранных мероприятий необходим качественный контроль за состоянием выбросов в окружающую среду от всех источников загрязнения. Сложность в оперативном и точном определении количества выбросов в атмосферу состоит в учете влияющих факторов, таких как диффузия и перенос примесей, устойчивость атмосферы (температура, давление, скорость, направление и размах вихрей ветра, интенсивность турбулентности). Массовая доля выбросов в мире, приходящаяся на транспорт, с каждым годом возрастает [1]. Поэтому в качестве источника загрязнения в приведенных исследованиях выбран автотранспорт.

Цель работы состоит в разработке математической модели для определения количества выбрасываемых автомобилем вредных веществ в атмосферу.

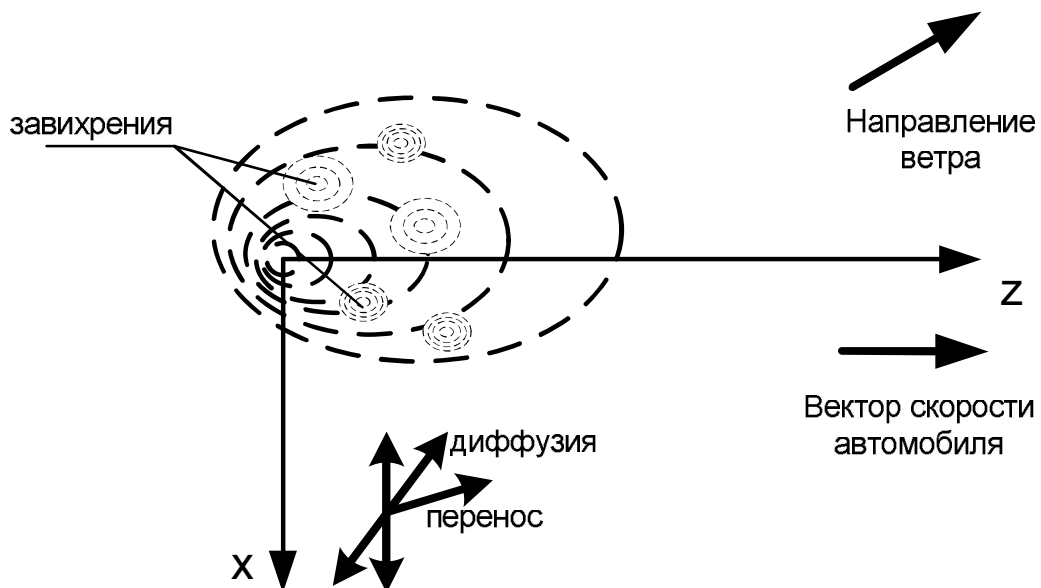


Рисунок 1 – Поведения выхлопа в атмосфере

В качестве источника выбросов рассматривается легковой автомобиль, находящийся в движении. Для описания процесса рассеивания газообразных продуктов выброса используется

модель нестационарного переноса [1]. Так как наибольшую долю среди токсичных веществ занимает оксид углерода, то его концентрация и будет определяться. При составлении математической модели были использованы следующие основные уравнения: уравнения газовой диффузии, уравнение переноса и распространения примесей и уравнение движения. Считая автомобиль точечным источником выброса в определенные моменты времени, поместим трехмерную декартовую систему координат непосредственно в источник выбросов. При этом ось OZ – вдоль дороги, ось OX – определяет ширину дороги и ось OY – перпендикулярно осям OZ и OX соответственно. Рассмотрим поведение выхлопа в плоскости XZ, без учета сложных погодных условий (рисунок 1). Также обозначим на рисунке 1 все влияющие величины, которые будут учтены в математической модели. Концентрация оксида углерода в районе выброса будет описываться уравнением 1.

$$\begin{aligned} C_{\text{CO}}(x, y, z, t, V_A, V_B) = & C_{\text{фонаглоб}}(x, y, z, t) \\ & + C_{\text{фоналок}}(x, y, z, t) + C_{\text{авто}}(x, y, z, t, V_A, V_B), \end{aligned} \quad (1)$$

где  $C_{\text{CO}}(x, y, z, t, V_A, V_B)$  - суммарная концентрация оксида углерода в районе выброса;  $C_{\text{фонаглоб}}(x, y, z, t)$  - глобальная фоновая концентрация;  $C_{\text{фоналок}}(x, y, z, t)$  - локальная фоновая концентрация, которая характерна данной местности;  $C_{\text{авто}}(x, y, z, t, V_A, V_B)$  - концентрация, вносимая отработанными газами автотранспорта.

Глобальная и фоновая концентрации имеют среднестатистическое значение для определенной местности, участка трассы и погодных условий и определяется экспериментально либо на основе статистических данных. Концентрация, вносимая отработанными газами автомобиля, содержит постоянную и турбулентную составляющие. При этом постоянная составляющая характеризует основную концентрацию CO в выбросах автомобиля и является функцией от пространственных координат ( $x, y, z$ ), максимальной концентрации оксида углерода, времени ( $t$ ), скорости автомобиля и ветра ( $V_A, V_B$ ), направления ветра, высоты расположения источника выбросов. Турбулентная составляющая, характеризующая газовую диффузию в турбулентном потоке автомобильного выхлопа, является функцией от координат ( $x, y, z$ ), времени ( $t$ ) и скорости автомобиля ( $V_A$ ). Решение данного уравнения покажем в виде графика распределения концентрации оксида углерода по оси X при  $t = 0,02$  с,  $Z = 0,05$  м, и разрезами по Y ( $Y = Y_0$ ;  $Y = Y_0 + 0,08$ ;  $Y = Y_0 + 0,16$ ;  $Y = Y_0 + 0,24$ ). Где  $Y_0 = 0,25$  м – типовое расположение выхлопной трубы,  $V_A = 15$  км/ч,  $V_B = 0$  м/с, при этом фоновая и локальная концентрация не учитывались.

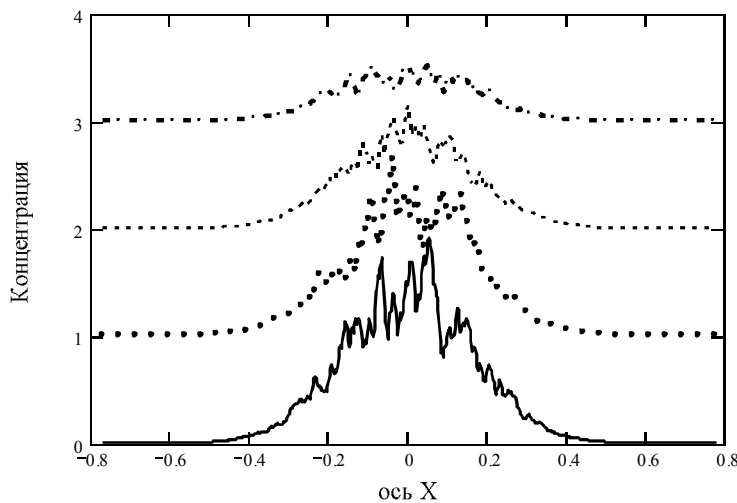


Рисунок 2 – Распределение концентрации оксида углерода по оси X при  $t = 0,02$  с,  $Z = 0,05$  м ( $Y = Y_0$  м – сплошная линия,  $Y = (Y_0 + 0,08)$  м – точечная линия,  $Y = (Y_0 + 0,16)$  м – пунктирная линия,  $Y = (Y_0 + 0,24)$  м – штрихпунктирная линия)

Для удобного отображения графики смешены друг относительно друга на единицу (рисунок 2).

Выводы: предложена математическая модель распределения концентрации СО в выбросах автомобильного транспорта. Получены качественные и количественные характеристики распределения СО в выхлопе автомобиля. Разработанная математическая модель позволяет определить с высокой вероятностью распределение концентрации примесей в газовом пространстве с учетом большинства влияющих величин. При определенных допущениях, а именно: скорость движения автомобиля положить равным нулю – математическая модель может быть адаптирована для определения краткосрочных выбросов ядовитых веществ от стационарных источников выбросов.

#### Перечень ссылок

1. Марчук Г. И. Математическое моделирование в проблеме окружающей среды/ Марчук Г. И. – М.: Наука, 1982. – 320 с.

УДК 681.5.08

## СПОСОБ ОПРЕДЕЛЕНИЯ ТЕМПЕРАТУРНОГО ПРОФИЛЯ ПРОХОДНЫХ ПЛАМЕННЫХ ПЕЧЕЙ И СТРУКТУРНОЙ СХЕМЫ ИИС

**Томилин Е.М., аспирант; Чичикало Н.И., д.т.н., профессор**

(Донецкий национальный технический университет, г. Донецк, Украина)

В настоящее время проходные печи применяются для тепловой обработки различных заготовок в непрерывном режиме. Это могут быть металлические слабы, керамические изделия, литейные формы и пр. По типу используемого топлива печи делят на топливные (пламенные) и электрические.

Рассмотрим толкательную термическую печь на газе для прокалки форм для литья. Чтобы получить температурный профиль теплового агрегата, проведены экспериментальные исследования, для чего все его пространство разбито на условные зоны – сегменты. В требуемых точках съема информации установлены датчики для непосредственного оценивания температур (зоны б, г, д, е), а определение температур остальных зон (а, в, ж) выполнено косвенно. На рис. 1, изображен экспериментальный сегмент печи с указанием способов определения температур.

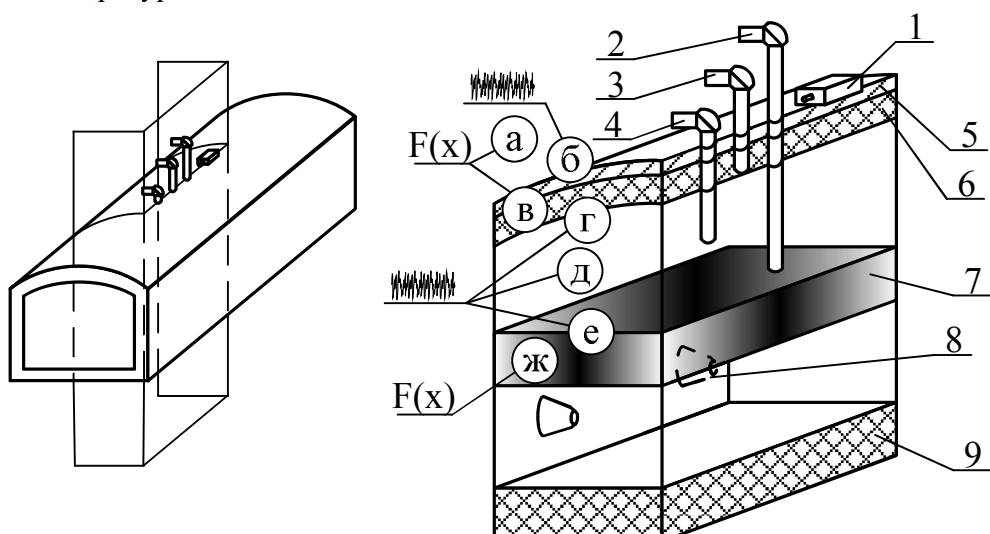


Рисунок 1 – Схема установки датчиков и способов определения составляющих температурного профиля проходной печи